

TEMA 5: CANALES VARIABLES

5.1 - PLANTEAMIENTO GENERAL

5.2 - CANALES CON AMPLITUD ALEATORIA

5.3 - CANALES CON FASE ALEATORIA

5.3.1 - GENERALIDADES

5.3.2 - RECEPTORES ÓPTIMOS

5.3.3 - MODULACIONES DIGITALES EN CANALES

INCOHERENTES

5.3.3.1 - ASK neutral

5.3.3.2 - FSK estangued

5.3.3.3 - DPSK

5.4 - CANALES CON DESVANECEMIENTOS

5.4.1 - MODELO GENERAL

5.4.2 - TÉCNICAS DE DIVERSIDAD

5.4.2.1 - DIVERSIDAD TEMPORAL

5.4.2.2 - DIVERSIDAD ESPACIAL

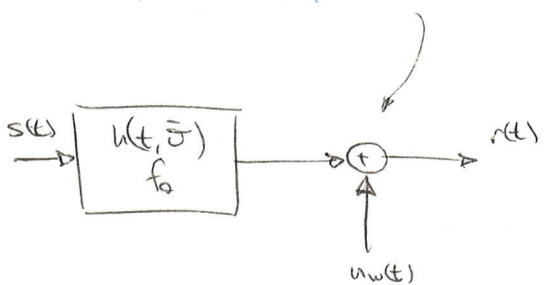
5.4.2.3 - DIVERSIDAD ESPECTRAL

5.1 - PLANTEAMIENTO GENERAL

Modelo de canal:

- AWGN
- Efecto del canal: $h(t)$
- Ruido añadido
- Transmisión paso banda

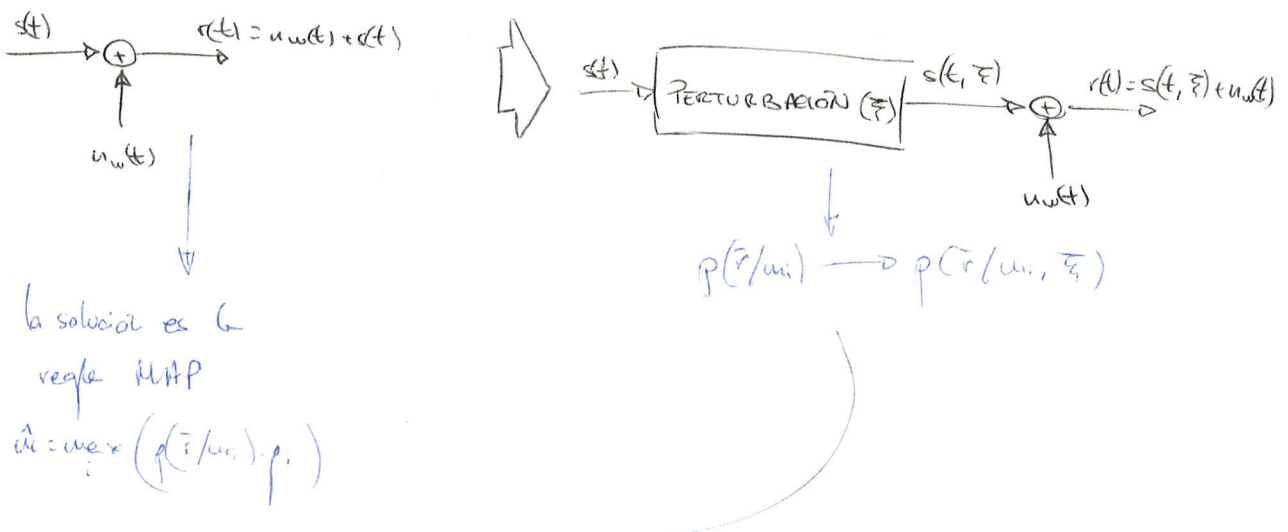
- Canales variables: factores estocásticos, aleatorios, y que no dependen de la señal $s(t)$ ni del ruido



Perturbaciones } de amplitud
 } de fase
 } de amplitud y fase (desmecanizantes)

Objetivos:

- Diseño "robusto"
- Estimación de los parámetros de perturbaciones



- Considerar el caso peor del valor de $\xī$, considerando que $\xī$ sólo puede tener unos pocos valores.
→ Receptor robusto. No es muy inteligente.
- Estimar $\xī (\frac{1}{\xī})$ → receptor adaptativo
- Si sólo se conoce $p(\xī)$ (no podemos estimar),
→ receptor promedio. Promediar.

53

3º TEL. SUP.

0,12 €
28.5.02

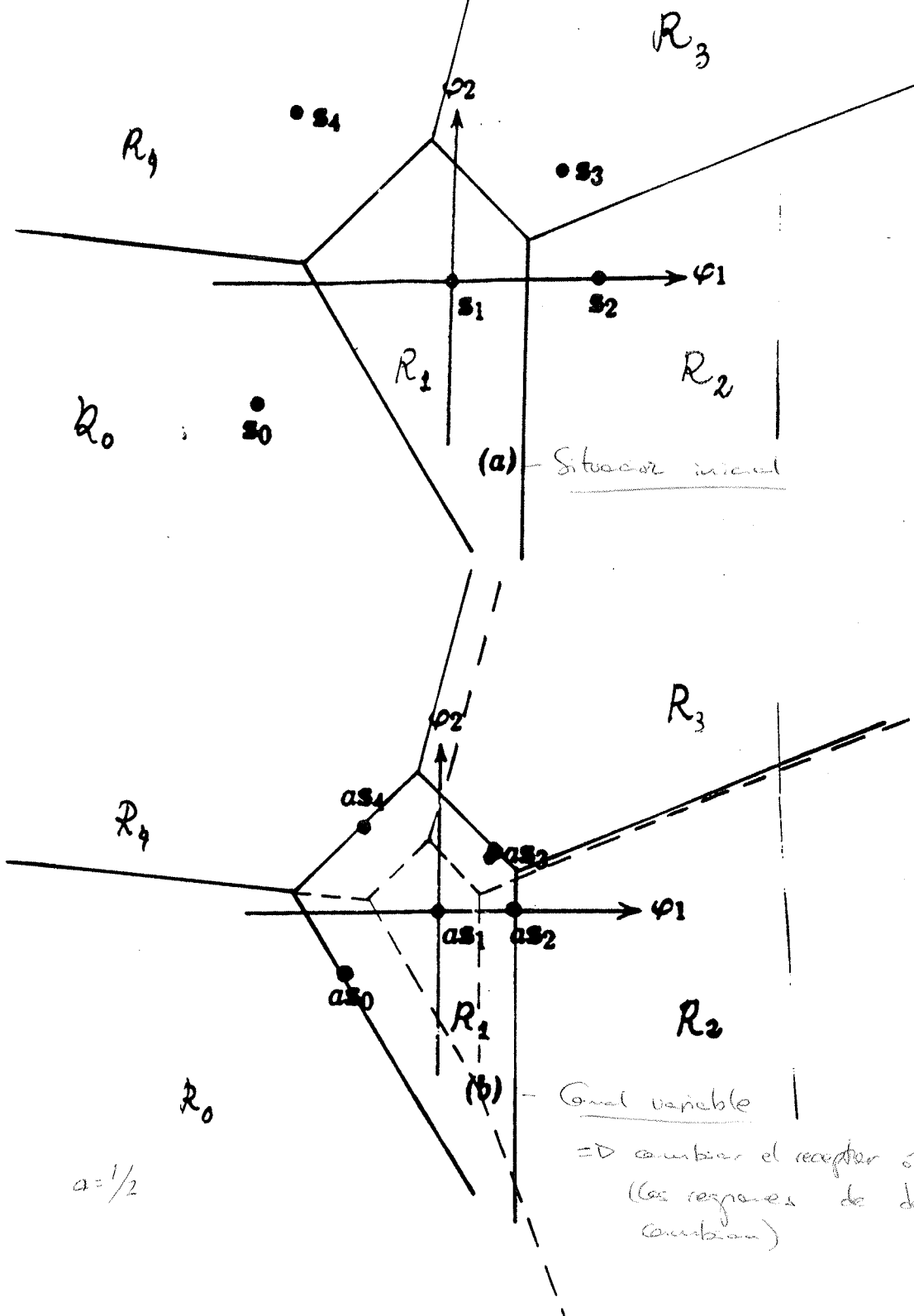


Figure 7.24 Radial scaling of signals; $a = \frac{1}{2}$.

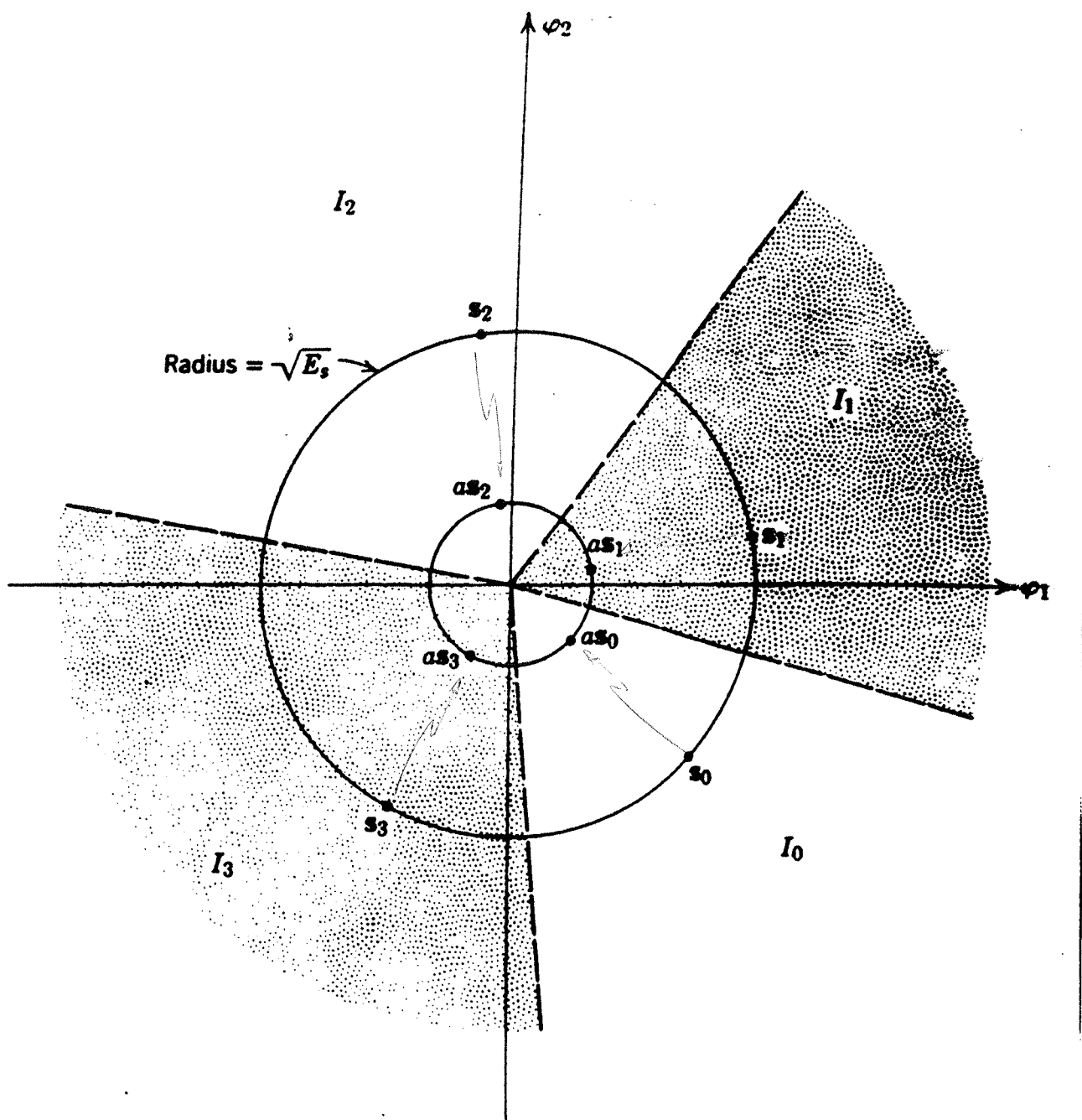
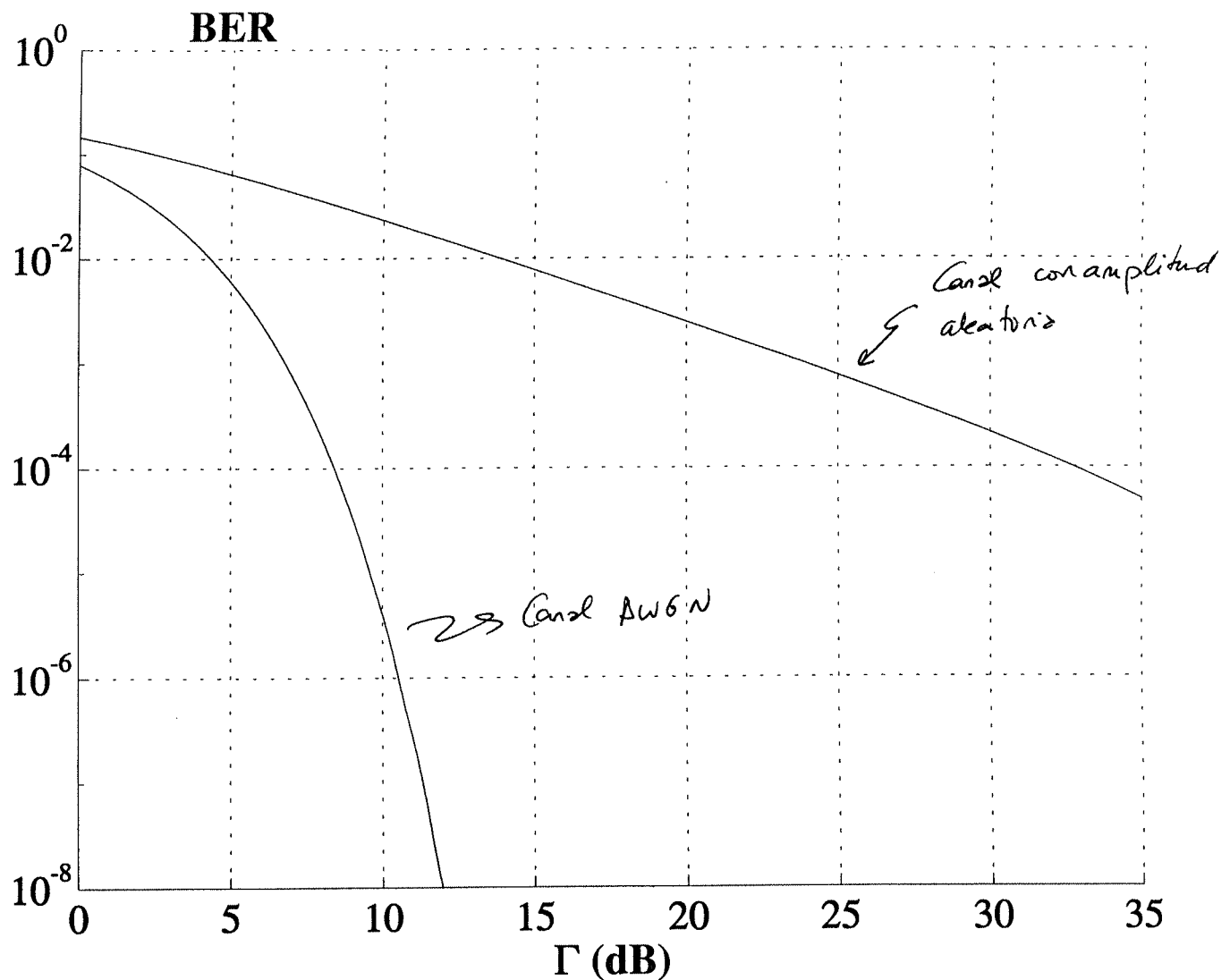


Figure 7.25 Decision regions that are invariant to positive attenuation.

Sonidos equivalentes y equiprobables

Atenuación sin cambios de fase



BER para BPSK en canal con amplitud aleatoria
 $P_A(\alpha)$: Distribución Rayleigh)

Función de Bessel modificada de 1^a clase
y orden 0 en $I_0(x)$

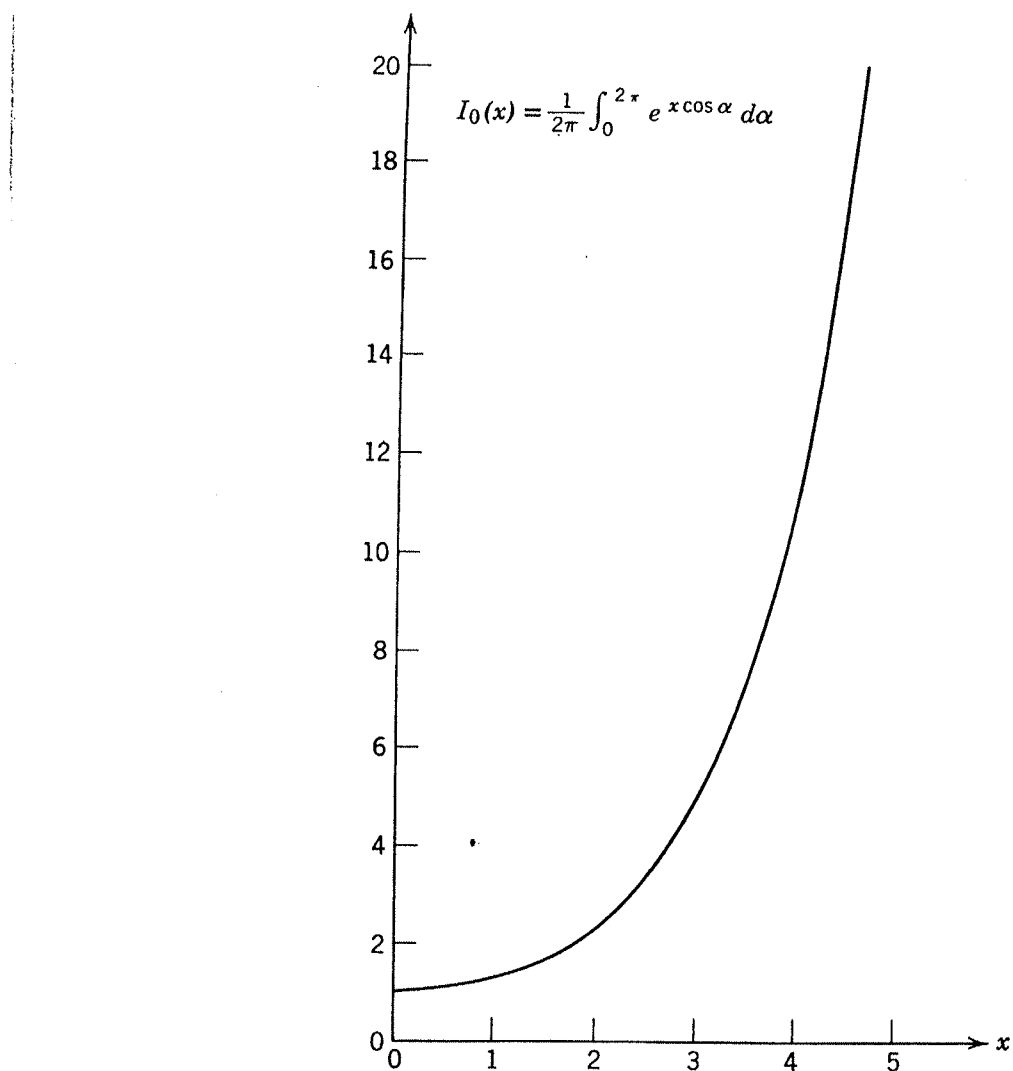


Figure 7.28 Plot of $I_0(x)$.

Este último caso convierte la regla en:

$$\begin{aligned}\hat{w}_i &= \max_{\alpha} \left(\int_{-\infty}^{\infty} p(\bar{r}/w_i, \xi) \cdot p(\xi) d\xi \cdot p_i \right) \\ &= \max_{\alpha} \left(\overline{p(\bar{r}/w_i, \xi)} \cdot p_i \right)\end{aligned}$$

Se predice con respecto a ξ

5.2 - CANALES CON AMPLITUD ALEATORIA

Normalmente este efecto aparece junto al de fase aleatoria.

Efecto: $|n(t)| = \alpha \cdot s(t) + n_{\text{mult}}$

En principio conocemos la distribución probabilística de α , $p(\alpha)$

$$\hat{w}_i = \max_{\alpha} \left(\overline{p(\bar{r}/w_i, \alpha)} \cdot p_i \right)$$

$$p(\bar{r}/w_i, \alpha) = p_n(\bar{r} - \alpha \cdot \bar{s}_i)$$

Suponemos α constante y predicimos.

Si las señales son equienérgicas y equiprobables, las fronteras de decisión pasan por el origen de coordenadas y un cambio en la amplitud no afecta a esas regiones de decisión.

En este caso, no hay que cambiar la estructura del receptor.

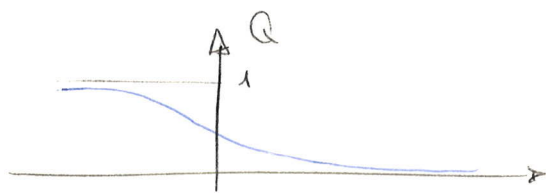
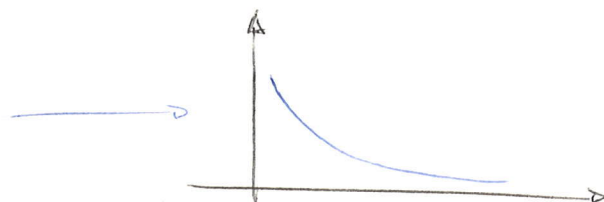
Por tanto, ASK no es adecuado para este tipo de señales.

$$\overline{p(e/\alpha)} \geq p(e/\alpha=1)$$

$$\boxed{p(e/\alpha) = \int_0^{\infty} p(e/\alpha) p(x) dx} \quad | \quad \alpha > 0$$

$$Q(\alpha, \dots)$$

$p(e/\alpha)$ convexa



$$\overline{p(e/\alpha)} \geq p(e/\bar{\alpha}) \quad (\text{Si } p(e/\alpha) \text{ concava con respecto a } \alpha)$$

5.3 - ANÁLISIS CON FASE ALATORIA

(Gráficas incoherentes)

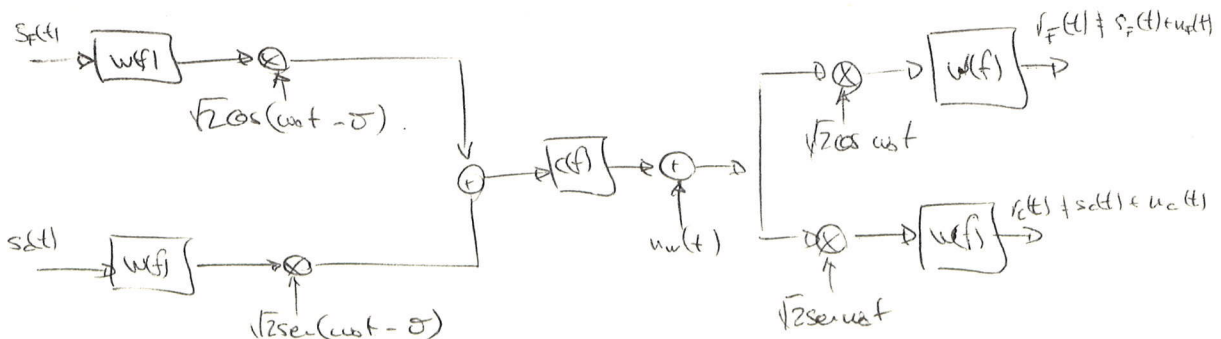
5.3.1 - GENERALIDADES

Causas:

1 - Distintos canales de los señales \Rightarrow distintos retrasos, según la frecuencia

2 - Rezoldades en T_c y R_c desfasadas (δ)

2 - Desfase variable.

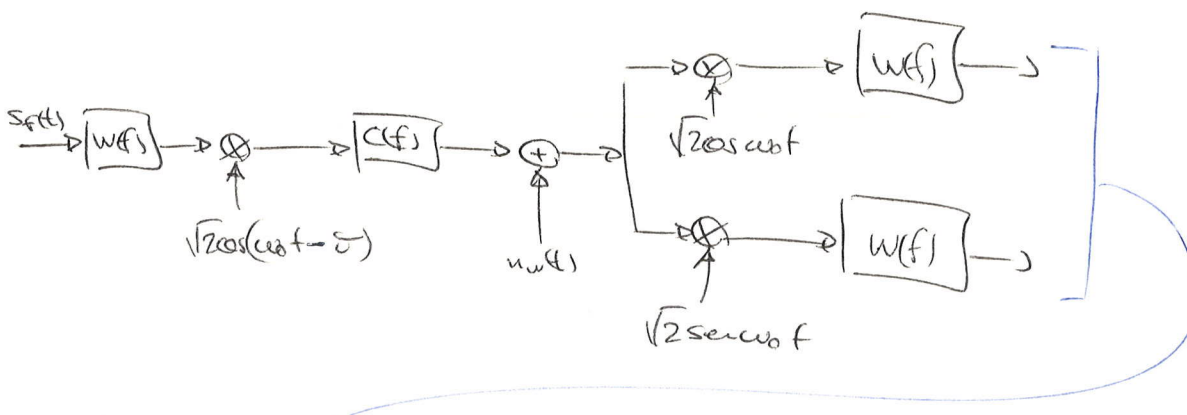


$$\begin{cases} \sqrt{2} \cos(\omega_0 t - \delta) = \sqrt{2} (\cos \omega_0 t + \sin \omega_0 t \sin \delta) \\ \sqrt{2} \sin(\omega_0 t - \delta) = \sqrt{2} (\sin \omega_0 t \cos \delta - \cos \omega_0 t \sin \delta) \end{cases}$$

$$\Rightarrow \begin{cases} r_F(t) = s_F(t) \cos \delta - s_C(t) \sin \delta + u_F(t) \\ r_C(t) = s_C(t) \cos \delta + s_F(t) \sin \delta + u_C(t) \end{cases}$$

Se acoplan los componentes en fase y quadratura.

Teorizemos que reuniría a una de las componentes, por ejemplo a la de quadratura:



→ hay que escalar los 2.

$$\begin{cases} r_F(t) = s_C(t) \cos \delta + u_F(t) \\ r_C(t) = s_C(t) \sin \delta + u_C(t) \end{cases} \quad [1]$$

$$u_i = u_{i_0} \rightarrow \text{MAP} : \hat{u}_i = \max_i \left(p(\bar{r}_i / u_i, \delta) \cdot p_i \right)$$

No falta conocer $p(\delta)$

No es descabellado pensar que $p(\sigma)$ es uniforme
en $[0, 2\pi]$

$$p(\sigma) = \frac{1}{2\pi} \quad \sigma \in [0, 2\pi] \quad [2]$$

Supongamos también que el ruido es AWGN. [3]

$$P(r/m_i, \sigma) = p(\bar{r}_F, \bar{r}_C / m_i, \sigma)$$

$$= P_{RF}(\bar{r}_F - \bar{s}_i \cos \sigma, \bar{r}_C - \bar{s}_i \cdot \sin \sigma)$$

↓ es gaussiano (acto de feTM)

$$\exp\left(-\frac{1}{N_0}\left(\|\bar{r}_F - \bar{s}_i \cos \sigma\|^2 + \|\bar{r}_C - \bar{s}_i \sin \sigma\|^2\right)\right) = \\ = \exp\left(-\frac{1}{N_0}\underbrace{\left((\bar{r}_F, \bar{r}_F) + (\bar{r}_C, \bar{r}_C) - 2((\bar{r}_F, \bar{s}_i \cos \sigma) + (\bar{r}_C, \bar{s}_i \sin \sigma)) + \|s_i\|^2\right)}_{\text{no influyen} \rightarrow \text{se quedan quietas}}\right)$$

$$\cancel{\times} \exp\left(-\frac{2}{N_0}((\bar{r}_F, \bar{s}_i) \cos \sigma + (\bar{r}_C, \bar{s}_i) \sin \sigma)\right) \cdot \exp\left(-\frac{E_i}{N_0}\right)$$

"proportional"

$$\Rightarrow P(\bar{r}/m_i, \sigma) \propto \exp\left(\frac{2}{N_0}((\bar{r}_F, \bar{s}_i) \cos \sigma + (\bar{r}_C, \bar{s}_i) \sin \sigma)\right) \cdot \exp\left(-\frac{E_i}{N_0}\right)$$

Prueba \rightarrow sólo la 1^a exponencial.

$$u = \max_{\sigma} \left(\frac{1}{2\pi} \int_0^{2\pi} \exp\left(\frac{2}{N_0}((\bar{r}_F, \bar{s}_i) \cos \sigma + (\bar{r}_C, \bar{s}_i) \sin \sigma)\right) d\sigma \cdot e^{-\frac{E_i}{N_0}} \cdot p_i \right)$$

Wautbrucas 2 variables:

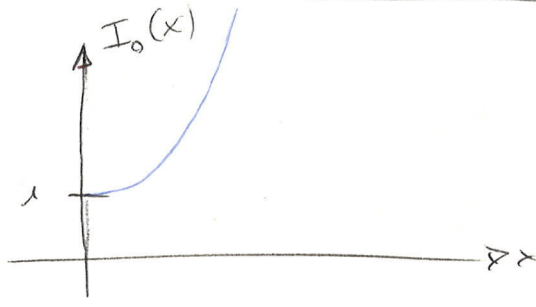
$$\begin{cases} \bar{X}_i = \sqrt{(\bar{r}_F, \bar{s}_i)^2 + (\bar{r}_C, \bar{s}_i)^2} \\ \varphi_i = \arctan \frac{(\bar{r}_C, \bar{s}_i)}{(\bar{r}_F, \bar{s}_i)} \end{cases}$$

$$\hat{w} = \max_i \left(\frac{1}{2\pi} \int_0^{2\pi} \exp \left(\frac{2}{N_0} (X_i \cos(\delta - \varphi_i)) \right) d\delta \cdot e^{-\frac{E_i}{N_0}} p_i \right)$$

$$X_i \cos(\delta - \varphi_i) = X_i \cos \varphi_i \cos \delta + X_i \sin \varphi_i \sin \delta$$

Funciones de Bessel de 1^a especie

$$I_0(x) = \frac{1}{2\pi} \int_0^{2\pi} e^{\cos \delta} d\delta$$



$$\int_0^{2\pi} \exp \left(\frac{2}{N_0} X_i \cos(\delta - \varphi_i) \right) d\delta = I_0 \left(\frac{2X_i}{N_0} \right)$$

$$\hat{w} = \max_i \left(I_0 \left(\frac{2X_i}{N_0} \right) e^{-\frac{E_i}{N_0}} p_i \right)$$

$X_i \rightarrow$ estadístico suficiente

$$X_i^2 = (\bar{r}_F, \bar{s}_i)^2 + (\bar{r}_C, \bar{s}_i)^2 \equiv \text{envolvente}$$

Si los señales son equiprobables y equienérgéticas:

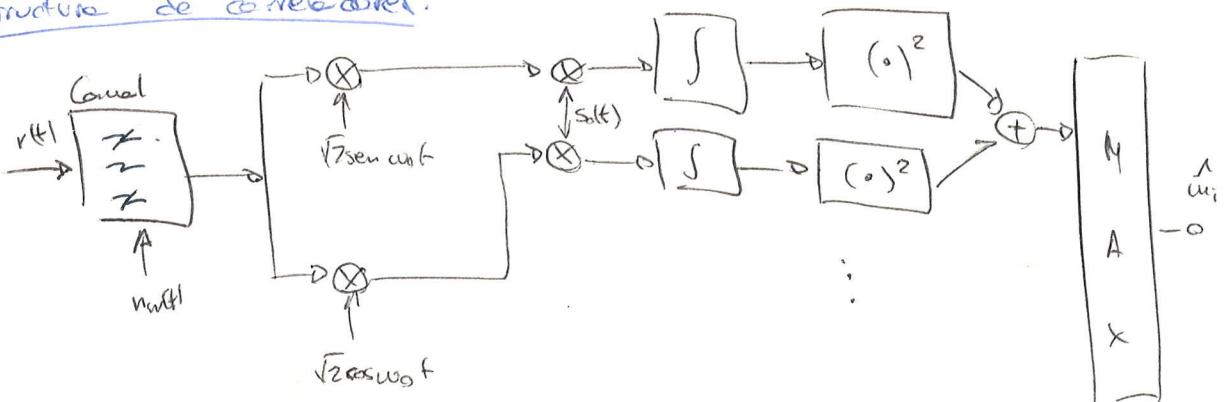
$$\hat{w} = \max_i (X_i^2)$$

5.3.2 - Receptores óptimos

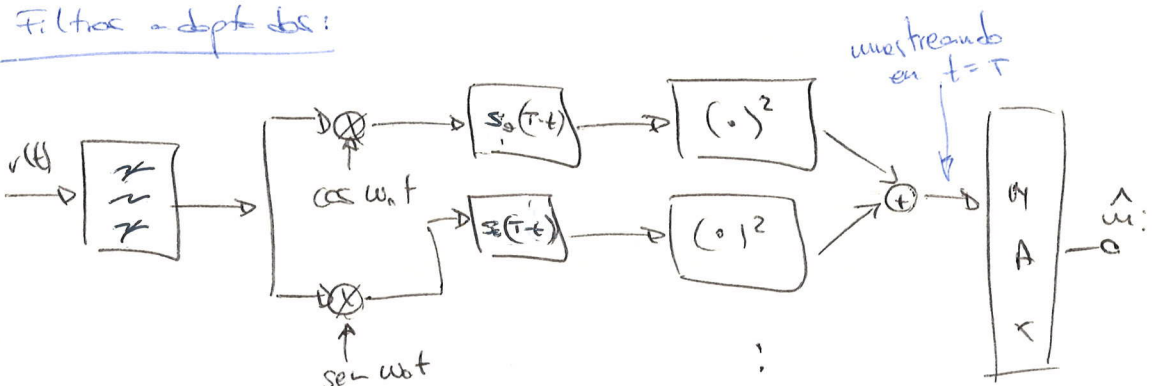
$$X_i \left\{ \begin{array}{l} (\bar{r}_f, \bar{s}_i) \\ (\bar{r}_e, \bar{s}_i) \end{array} \right.$$

$$u_i(t) = r(t) \times \sqrt{2} s_i(t - \tau) \cos(\omega_0 t - \chi_i(t)) \cos(\omega_0 f - \varphi_i(t))$$

Estructura de correladores:



Filtros adaptados:

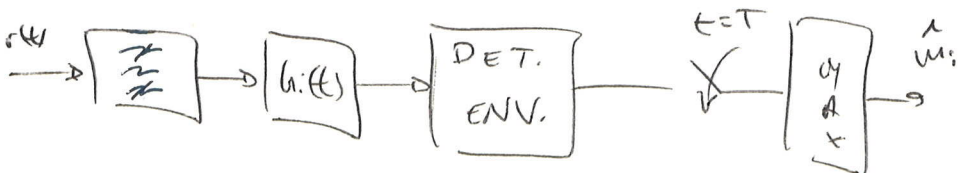


$$X_i(t) \Big|_{t=T} = x_i \rightarrow \text{el estadístico suficiente}$$

No nos fijamos en la fase, sino en la envolvente

Filtros adaptados para banda:

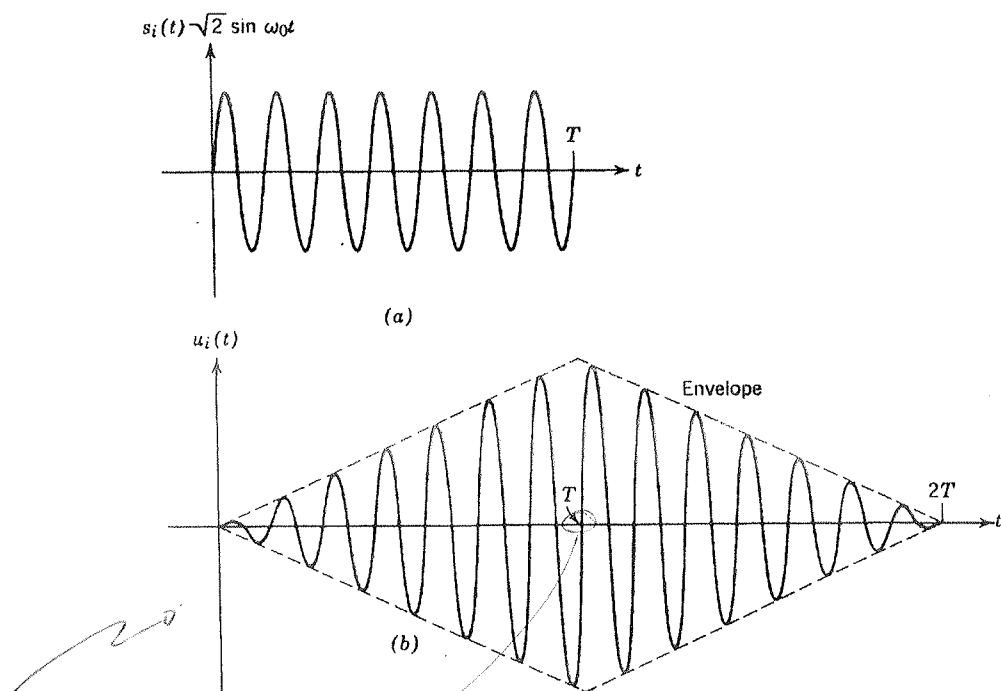
$$h_i(t) = \sqrt{2} s_i(t - \tau) \cos(\omega_0 t)$$



57

3º TEL. SUP.

0,15€
 29/5/02



Filtro adaptado, con
desfase $\theta = \pi/2$ = b

Figure 7.32 Envelope detection of (noiseless) pulsed sine wave.

↓
us Ajustemos en su equivalente

Distribución de Rice y de Rayleigh

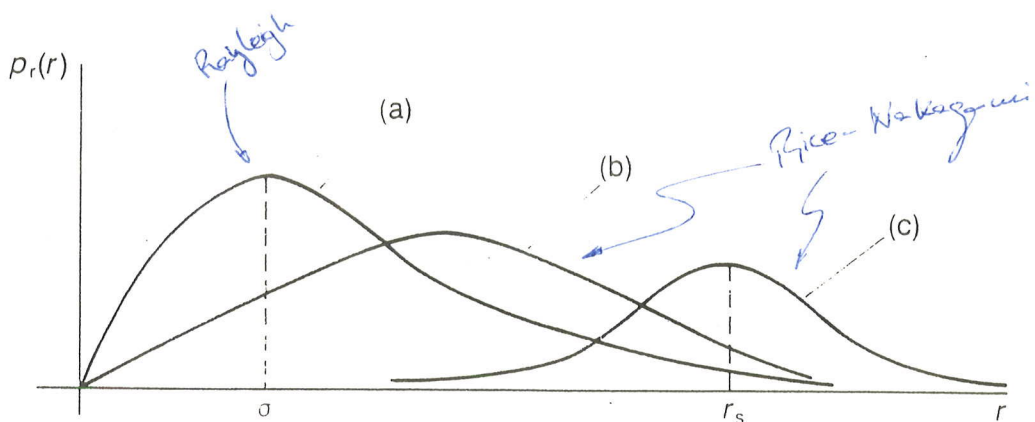
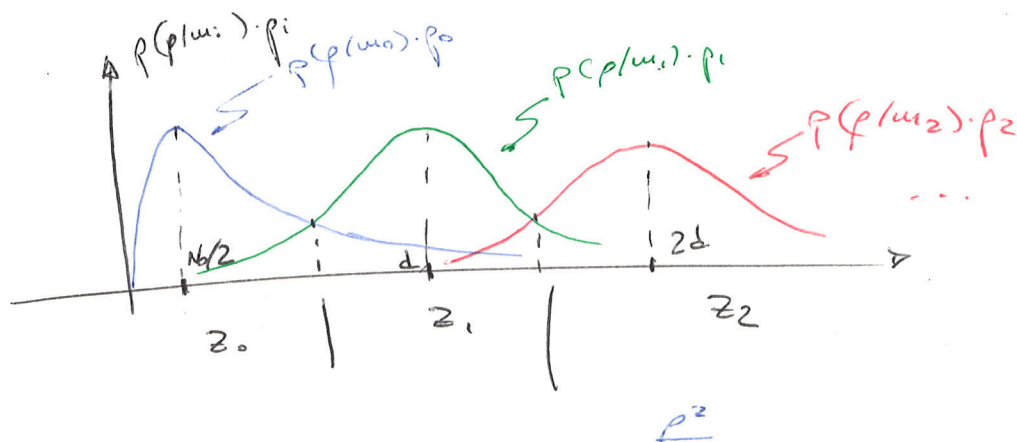


Fig. 5.19 Rician probability density function; (a) $K \rightarrow 0$, (b) $K \approx 1$, (c) $K \gg 1$



$$\text{Rayleigh: } \rho(\rho/\mu_0) = \frac{2\rho}{N_0} e^{-\frac{\rho^2}{N_0}}$$

$\underbrace{\hspace{10em}}$ tiene integral analítica

$$\rho(\rho/\mu_0) = \frac{2\rho}{N_0} \cdot I_0\left(\frac{2\sqrt{\mu_0}}{N_0}\right) e^{-\frac{\rho^2 + \mu_0}{N_0}}$$

$$\hat{Q}(\alpha, \beta) = \int_{\alpha}^{\beta} \rho e^{-\frac{\rho^2 + \alpha^2}{2}} \cdot I_0(\alpha\rho) d\rho$$

Rice → no tiene integral analítica $\Rightarrow \hat{Q}$ de Marcum:

64

3: TEL. SUP.

0,12 €

CANALES PASOBANDA INCOHERENTES

6.5.02

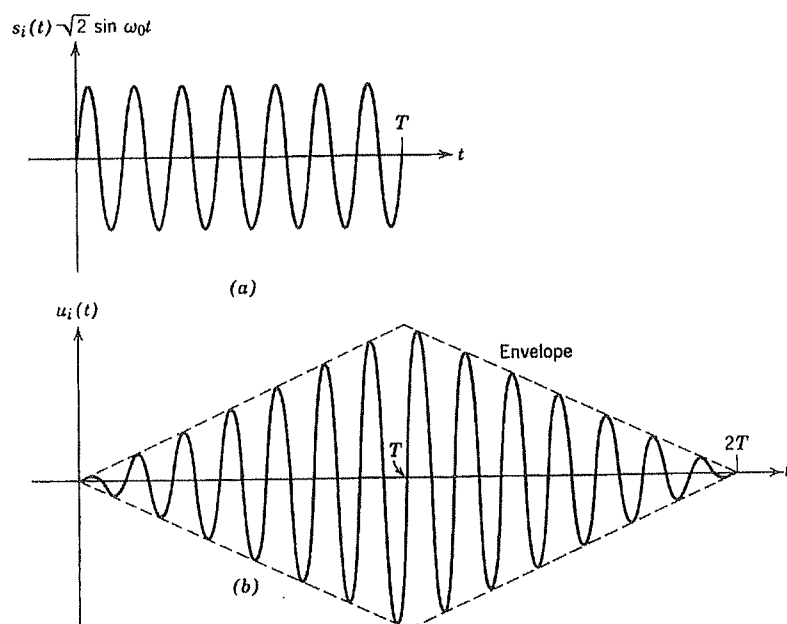
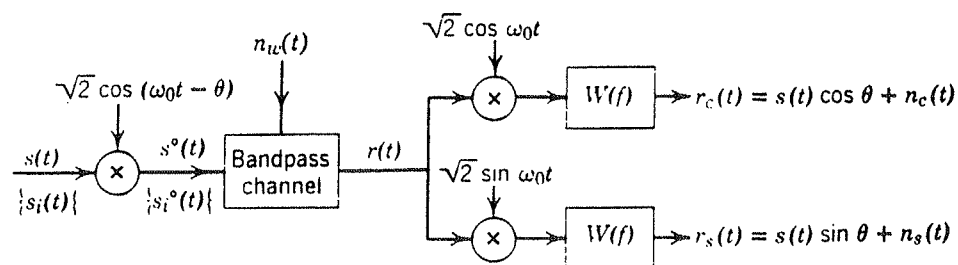


Figure 7.32 Envelope detection of (noiseless) pulsed sine wave.

HIPOTESIS:

[1] $\bar{r}_f = \bar{s}_i \cos \theta + \bar{n}_f$

$$\bar{r}_c = \bar{s}_i \sin \theta + \bar{n}_c$$

[2] Canal AWGN

[3] Fase θ uniforme entre 0 y 2π

[4] Regla MAP: $\hat{m} = \max_i [\overline{p(\bar{r} / m_i, \theta)} p_i]$

SOLUCION:

$$\hat{m} = \max_i [I_0\left(\frac{2X_i}{N_0}\right) e^{-\frac{E_i}{N_0}} p_i]$$

Donde $X_i = \sqrt{(\bar{r}_f, \bar{s}_i)^2 + (\bar{r}_c, \bar{s}_i)^2}$ (envolvente) es el estadístico suficiente.

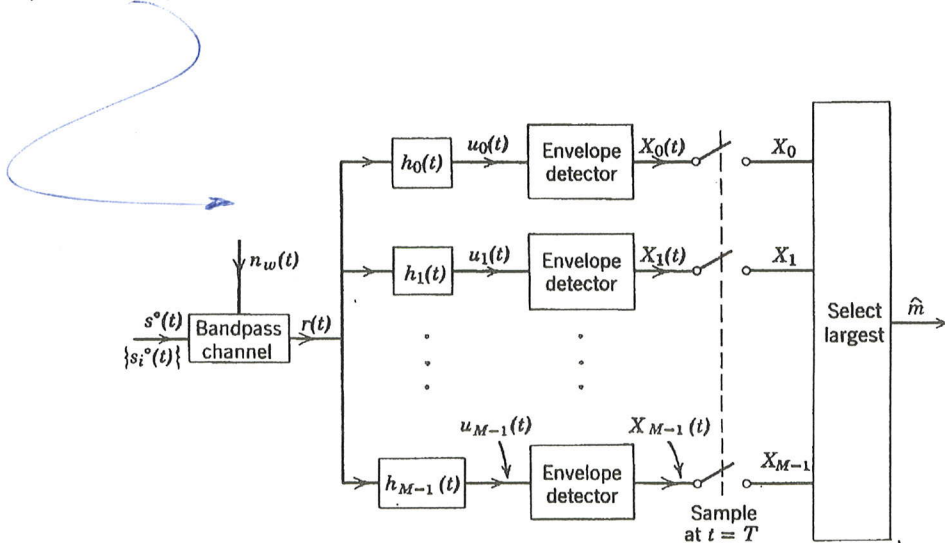
IMPLEMENTACION:

1. Demodulación (fase y cuadratura) + Filtrado adaptado + Cálculo

2. Filtro sintonizado + Detección de envolvente + Muestreador

(En el caso particular de señales equiprobables y equienergéticas, la regla se convierte en:

$$\hat{m} = \max_i [X_i] = \max_i [X_i^2], \text{ que es la implementada en la figura adjunta}.$$



$$h_i(t) = \sqrt{2} s_i(T - t) \cos \omega_0 t; \quad i = 0, 1, \dots, M - 1$$

Figure 7.31 Envelope-detector receiver for equal-energy signals with random phase.

DISTRIBUCIÓN DE LA ENVOLVENTE

Si el mensaje transmitido es 0, la distribución es

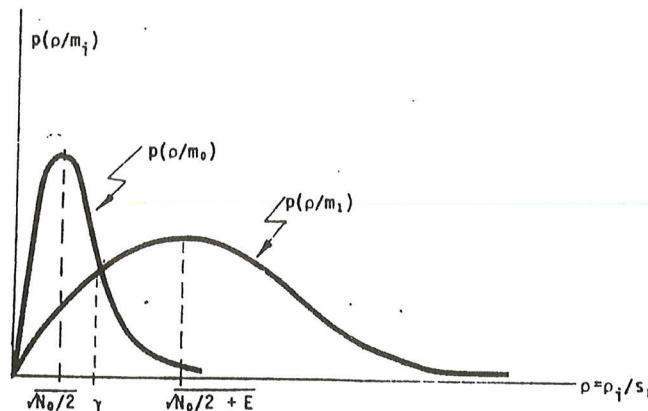
$$p(\rho / m_i) = \frac{2\rho}{N_0} \cdot e^{-\frac{\rho^2}{N_0}}$$

Rayleigh

Para cualquier mensaje no nulo de energía E_i , la distribución es entonces:

$$p(\rho / m_i) = \frac{2\rho}{N_0} \cdot I_0\left(\frac{2\rho\sqrt{E_i}}{N_0}\right) \cdot e^{-\frac{\rho^2+E_i}{N_0}}$$

Rice-Nakagami



CONSTELACIONES:

Son adecuadas para la transmisión

1. ASK (neutral): se discriminan los símbolos por su amplitud.
2. FSK (ortogonal): se discriminan por su frecuencia. A cada frecuencia, la distribución de la envolvente será de tipo Rayleigh (si el símbolo transmitido no correspondía a dicha frecuencia) o Rice (en caso afirmativo).
3. DPSK: requiere detección coherente + codificación diferencial de la información.

En cualquiera de los casos, se produce una DEGRADACIÓN DE LAS PRESTACIONES frente a la detección coherente, tanto menor cuanto mayor es la relación SNR. Como ejemplo, se incluye B-FSK (figura).



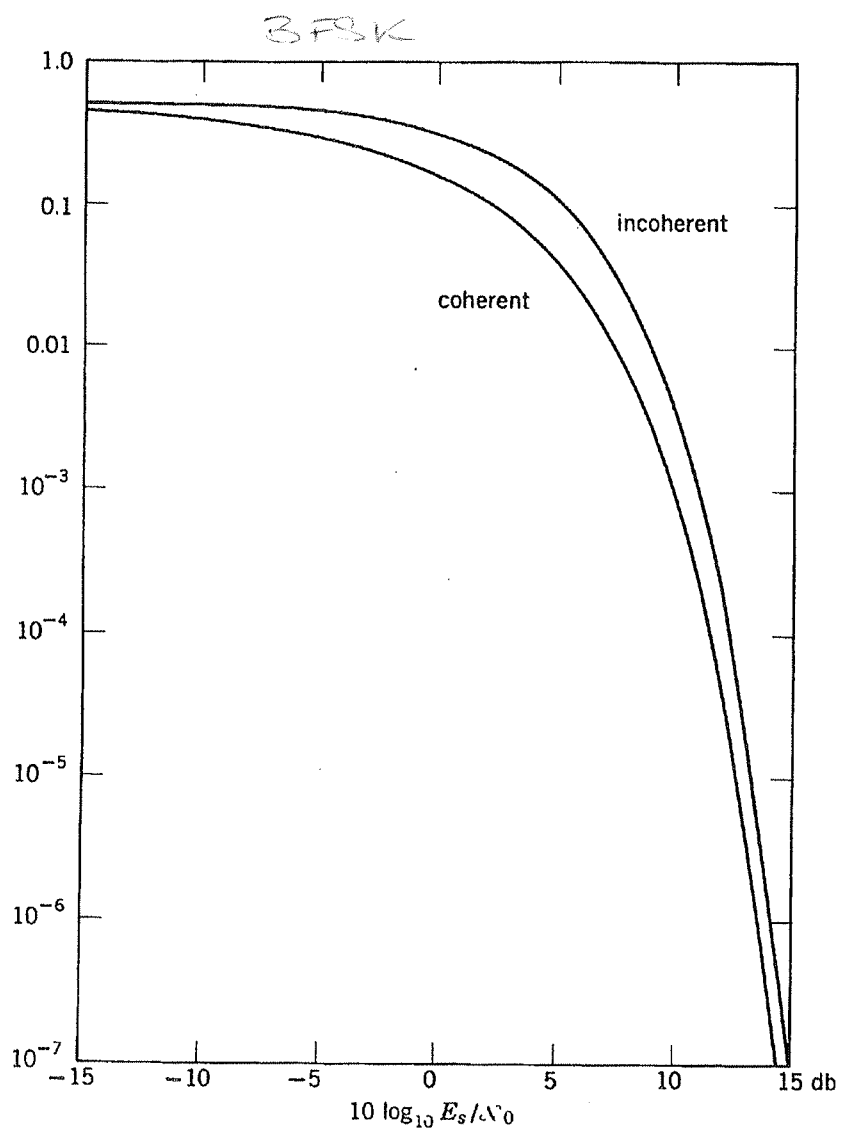
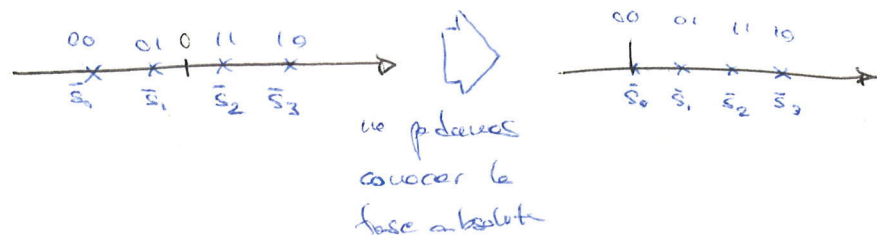


Figure 7.33 Probability of error for coherent and incoherent reception of two equally likely orthogonal signals of energy E_s .

¿Cómo se degradan las prestaciones?

5.3.3 - MODULACIONES DIGITALES EN CANALES INCOHERENTES

5.3.3.1 - ASK NEUTRAL



$$\begin{cases} s_0(t) = 0 \cdot \Psi(t) \\ s_1(t) = \Psi(t) \\ s_2(t) = 2 \cdot \Psi(t) \\ s_3(t) = 3 \cdot \Psi(t) \end{cases} \quad \int_0^T \Psi^2(t) = 1$$

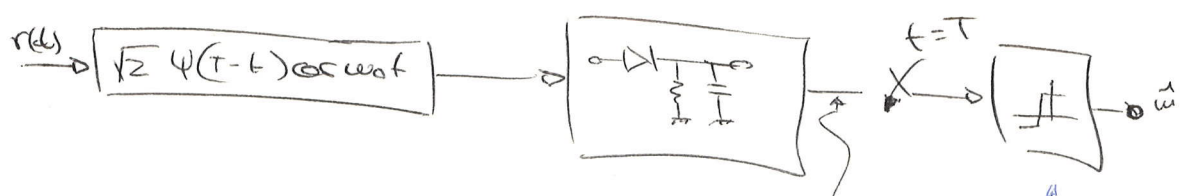
$$s_i = a_i \cdot \Psi(t), \quad a_i = i \cdot d$$

↑
distancia entre
simbolos

Idea central: en solo f. (band)

$$\hat{w} = \max_i (\rho(\bar{r}/w_i) \cdot p_i) = \max_i (\rho(\Psi/w_i) \cdot p_i)$$

$$\rho = \sqrt{(\bar{r}_f \cdot \Psi)^2 + (\bar{r}_c \cdot \Psi)^2}$$



$$\begin{aligned} & (\bar{r}_f, \bar{\Psi}) \\ & (\bar{r}_c, \bar{\Psi}) \quad \rightarrow \text{4a: } \Psi \rightarrow X_i \\ & \text{no depende de } " \end{aligned}$$

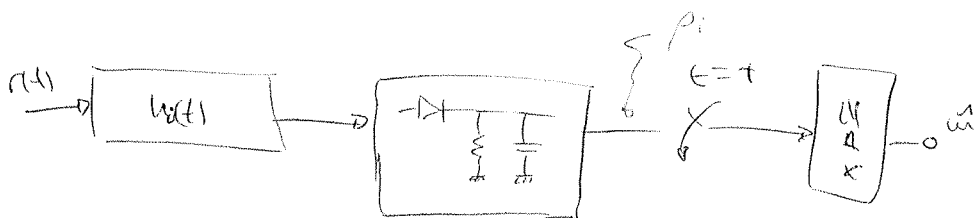
comparador

$(\eta, \Psi) \rightarrow$ privada } 4 determinista
 } 4 privada

dan para (α, Ψ)

Cambio de condiciones anteriores = poca

5.3.3.2 - FSK orthogonal



$$u(t) = \Psi(T-t) \cdot \sqrt{2} \cdot \cos(\omega_c + \omega_i)t$$

$$P(p_i | u_{in}) = \begin{cases} \frac{2p_i}{N_0} e^{-\frac{p_i^2}{N_0}} & p_i > 0, i \neq k \\ \frac{2p_i}{N_0} \exp\left(-\frac{p_i^2 + \epsilon}{N_0}\right) \frac{2p_i \sqrt{\epsilon}}{N_0} & p_i > 0, i = u \end{cases}$$

Las prestaciones no se degradan demasiado si el SNR es bueno. (igual en ASK neutral)

5.3.3.3 - DPSK

(transmisión)

Se responde la propia información con su antíope, modificando los cambios.

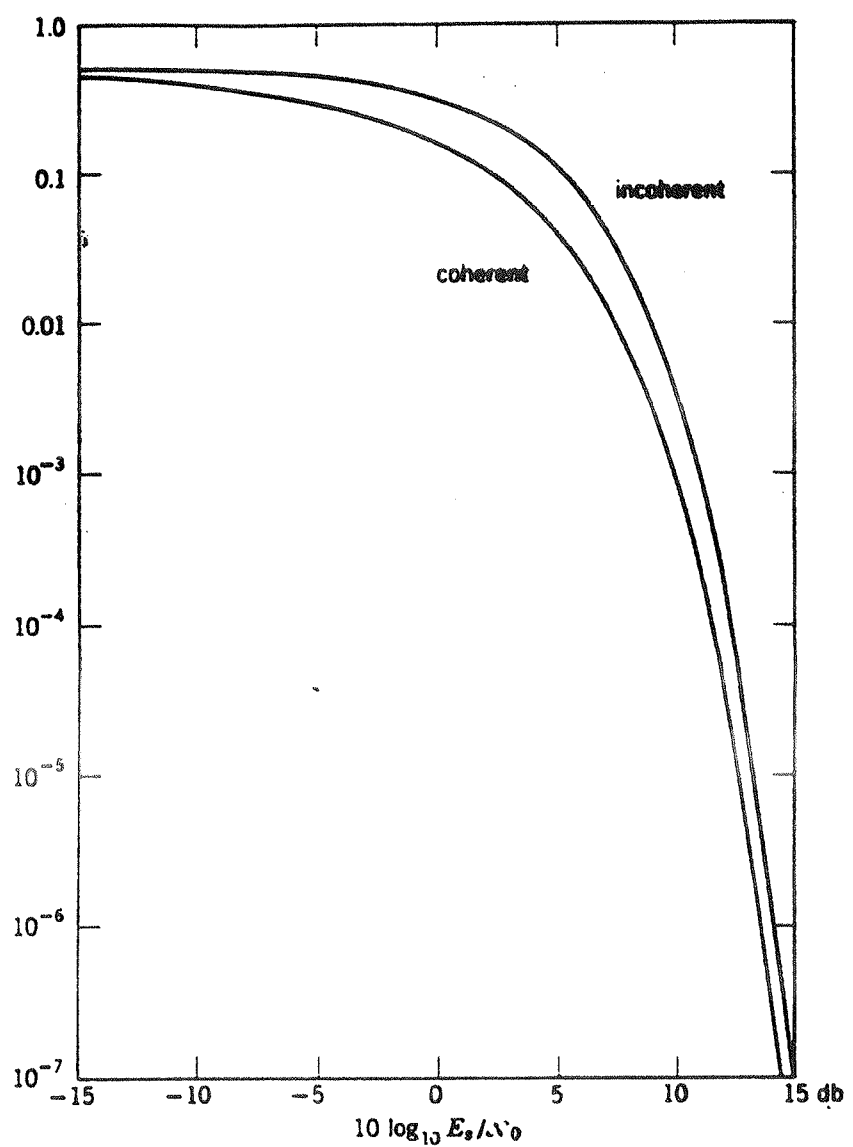


Figure 7.33 Probability of error for coherent and incoherent reception of two equally likely orthogonal signals of energy E_s .

FSK- orthogonal

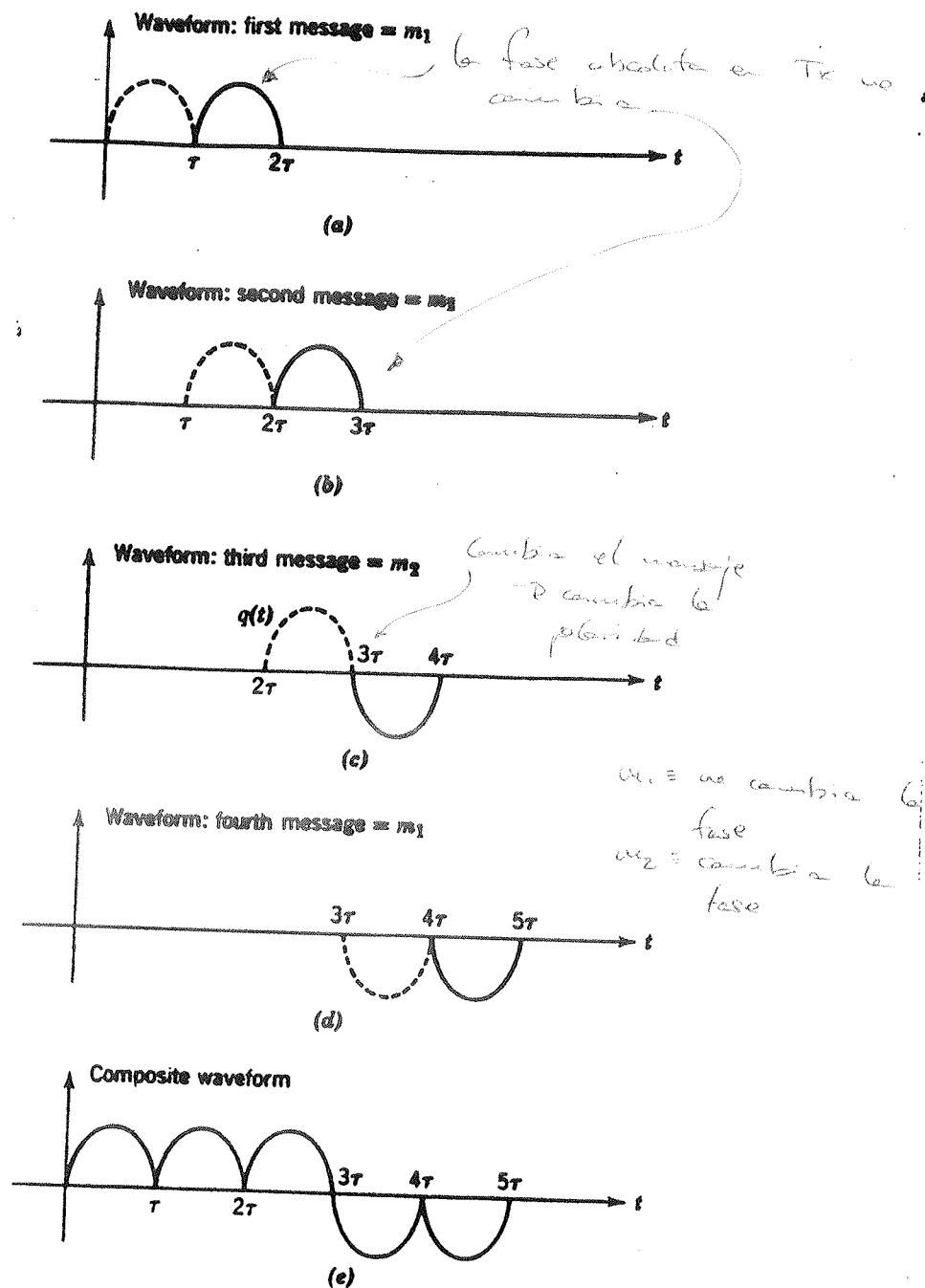


Figure 7.38 Differential-phase-shift-keyed waveforms for message sequence m_3, m_1, m_1 . For each message the reference waveform is the dashed pulse, and the signal waveform is the solid one. The energy of each pulse is E_s .

DPSK

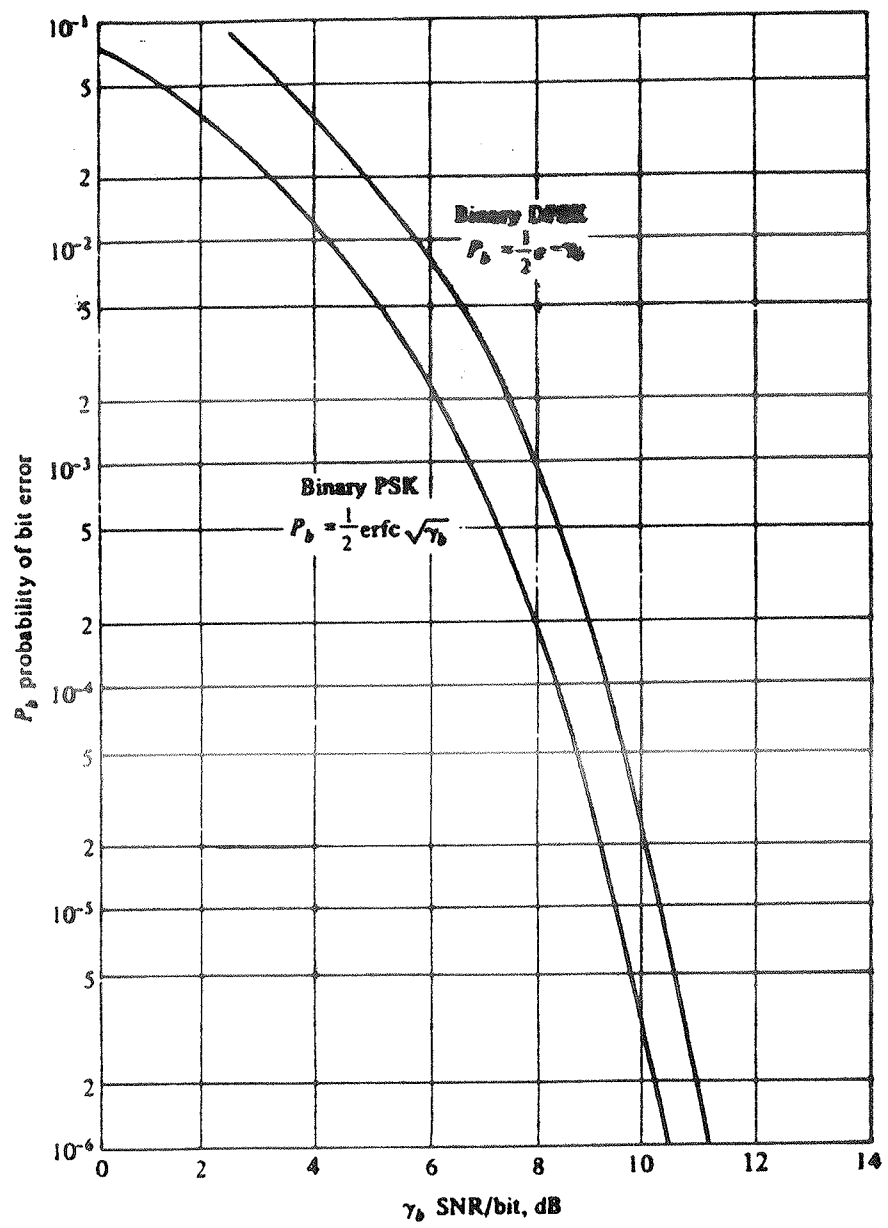
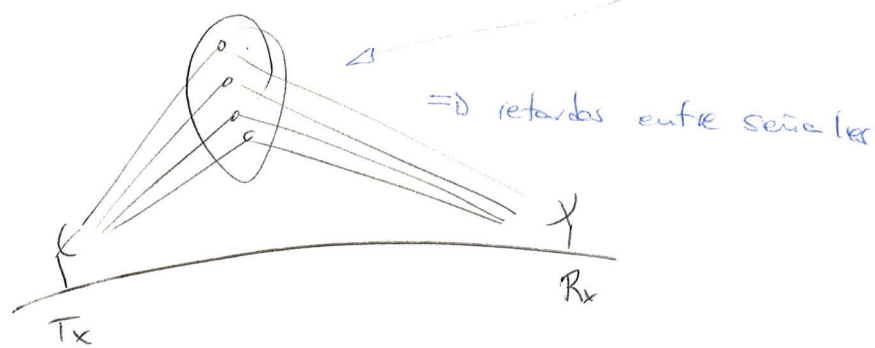


FIGURE 4.2.19
Probability of error for binary PSK and DPSK.

5.4 - CANALES CON DESVIAZIONES

5.4.1 - MODELO GENERAL

Propagación ionosférica



$$\sqrt{2} s_i(t) \cos \omega_0 t$$



$$r(t) = \sum_i c_i \sqrt{2} s_i(t - \tau_i) \cos(\omega_0(t - \tau_i))$$

suma de todos los señales ionizantes que llegan con distintos τ_i (retardo relativo)

NAA

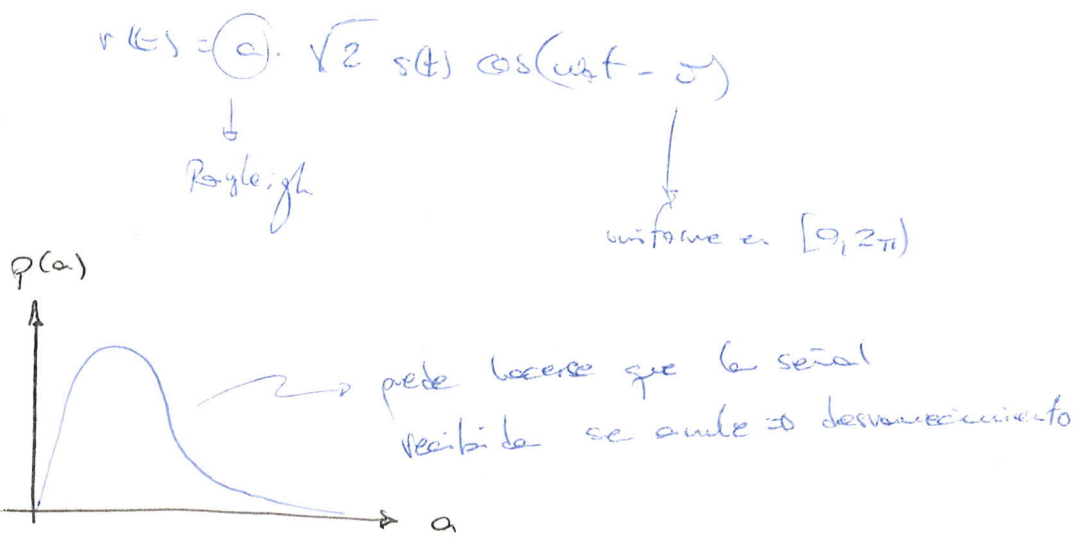
$$\tau_i \rightarrow \omega_0 \tau_i = \Omega_i \Rightarrow \frac{1}{2\pi} [0, 2\pi]$$

$$p_{\Omega_i}(\Omega_i) = \frac{1}{2\pi} \quad 0 \leq \Omega_i < 2\pi$$

$s(t - \tau_i) \approx s(t) \rightarrow \frac{1}{\tau_i}$ desplazamiento comparado con la frecuencia máxima de la señal

$$r(t) = s(t) \sum_i c_i \sqrt{2} \cos(\omega_0 t - \Omega_i)$$

Teorema del límite central \Rightarrow



5.4.2- TÉCNICAS DE DIVERSIDAD

5.4.2.1- DIVERSIDAD TEMPORAL

Espesar un tiempo para volver a transmisiones de forma que pueda cambiar la situación del canal

5.4.2.2- DIVERSIDAD ESPACIAL

Usar antenas separadas espacialmente algunas longitudes de onda.

5.4.2.3- DIVERSIDAD ESPECTRAL

Condiciones del medio dependen de la frecuencia \Rightarrow emitir 2 frecuencias \Rightarrow saturar antes el espectro